

УДК 537.61+537.622

© 1990

## СТОХАСТИЧЕСКИЕ МАГНИТНЫЕ СТРУКТУРЫ В $\text{Sm}_{0.6}\text{Eu}_{0.4}\text{FeO}_3$ СОЕДИНЕНИИ С КОНКУРИРУЮЩЕЙ МАГНИТНОЙ АНИЗОТРОПИЕЙ

*C. C. Карнеева, B. P. Калантарян, K. H. Качарян, P. M. Мартироссян,  
B. H. Милов, E. B. Синицын, T. K. Соловых*

Проведены измерения температурной зависимости величин компонент  $\sigma_a(T, H)$  и  $\sigma_c(T, H)$ , а также проекции среднего магнитного момента на диагональ плоскости  $ac-\sigma_{45}(T, H)$  (при различных полях  $H \leq 1$  кЭ) в соединении  $\text{Sm}_{0.6}\text{Eu}_{0.4}\text{FeO}_3$  с конкурирующей анизотропией. На основании измерений  $\sigma_{45}(T, H)$  определена температурная зависимость соответствующей магнитной восприимчивости  $\chi_{45}(T)$ . Показано, что  $\chi_{45}(T)$  аномально велика в центре области спин-переориентации  $\text{Sm}_{0.6}\text{Eu}_{0.4}\text{FeO}_3$ ;  $\chi_{45}(305\text{ K}) \approx 10^{-4} \text{ см}^3/\text{г}$ . Это связывается с существованием в указанном интервале температур стохастической магнитной структуры с ориентационными флуктуациями магнитных моментов.

Как было показано в [1, 2], спин-ориентационные переходы в магнетиках с конкурирующей анизотропией имеют сложный характер. В частности, в процессе спин-переориентации могут возникать стохастические магнитные структуры, в которых магнетики обладают целым рядом аномалий физических свойств. К соединениям с конкурирующей анизотропией относятся и смешанные твердые растворы на основе ортоферритов  $\text{R}_{1-x}^1\text{R}_x^2\text{FeO}_3$ , где при рассмотрении, например, наиболее распространенных переходов в *ac*-плоскости ионы  $\text{R}^1$  и  $\text{R}^2$  могут давать вклады противоположного знака в первую константу анизотропии  $K_1$ . Поскольку их распределение по узлам решетки случайно, должны наблюдаться флуктуации величины и знака константы  $K_1(\mathbf{r})$ . Для описания магнитной анизотропии таких соединений удобно ввести среднее значение  $\langle K_1(\mathbf{r}) \rangle = \bar{K}_1$ , дисперсию  $D_{K_1} = \langle [\delta K_1^2(\mathbf{r})] \rangle$  и корреляционный радиус  $R_{\text{ск}}^{\text{фл}}$  флуктуаций  $\delta K_1(\mathbf{r}) = K_1(\mathbf{r}) - \bar{K}_1$ . На рис. 1 схематически изображена фазовая диаграмма соединений  $\text{R}_{1-x}^1\text{R}_x^2\text{FeO}_3$  для переходов в *ac*-плоскости, построенная с учетом соображений [1, 2]; при этом использованы стандартные [3] обозначения  $\Gamma_4$ ,  $\Gamma_2$  для наблюдаемых в  $\text{RFeO}_3$  слабоферромагнитных структур. Как видно из рис. 1, в соединениях с конкурирующей анизотропией типа  $\text{R}_{1-x}^1\text{R}_x^2\text{FeO}_3$  возникновению угловой фазы  $\Gamma_{42}$ , в которой средние векторы ферро- $\langle \mathbf{F} \rangle$ - и антиферромагнетизма  $\langle \mathbf{G} \rangle$  [3] отклонены от осей  $a$  и  $c$ , должно предшествовать возникновение асперомагнитных структур  $AS(\Gamma_4)$ ,  $AS(\Gamma_2)$ . В фазах  $AS(\Gamma_4)$ ,  $AS(\Gamma_2)$  средний вектор  $\langle \mathbf{F} \rangle$  лежит вдоль оси  $c$  ( $a$ ), а дальний порядок в ориентации компонент векторов  $\mathbf{F}(\mathbf{r})$ ,  $\mathbf{G}(\mathbf{r})$ , перпендикулярных  $\langle \mathbf{F} \rangle$ ,  $\langle \mathbf{G} \rangle$ , отсутствует, т. е. они ориентированы хаотически по типу спинового стекла [4].

Оценки дисперсии  $D_F = \langle [\delta \mathbf{F}(\mathbf{r}) / |\mathbf{F}(\mathbf{r})|]^2 \rangle$  и корреляционного радиуса  $R_F$  ориентационных флуктуаций  $\delta \mathbf{F}(\mathbf{r}) = \mathbf{F}(\mathbf{r}) - \langle \mathbf{F} \rangle$  в угловой фазе, проведенные в [1], показывают, что эти величины аномально возрастают вблизи ее границ, т. е.  $D_F, R_F \rightarrow \infty$  при  $\theta \rightarrow 0, \pi/2$ , где  $\theta$  — угол, задающий ориентацию вектора  $\langle \mathbf{F} \rangle$  относительно оси  $c$ . При этом дальний порядок в ориентации магнитных моментов разрушается крупномасштабными флуктуациями векторов  $\mathbf{F}(\mathbf{r})$ ,  $\mathbf{G}(\mathbf{r})$ , приводящими, как и в других не-

упорядоченных магнетиках [4], к возникновению магнитогетерогенных двухфазных состояний. Так, в области  $SOS_n$  существуют домены угловой фазы и остатки структуры  $\Gamma_4$ , а в области  $S'OS'_n$  — зародыши структуры  $\Gamma_2$  и остатки угловой фазы.

Многолетние исследования таких твердых растворов тем не менее не выявили характерных для магнетиков с конкурирующей анизотропией аномалий кривых вращающихся моментов, намагниченности, магнитострикций. Это кажущееся противоречие экспериментальных данных теоретическим предсказаниям [1, 2] объясняется наличием достаточно большой положительной константы анизотропии четвертого порядка  $K_2 > 0$  для переходов в *ac*-плоскости ортоферритов [3]. Основной вклад в  $K_2$ , слабо зависящий от температуры, дает подсистема  $3d$ -ионов [5]. В первом при-

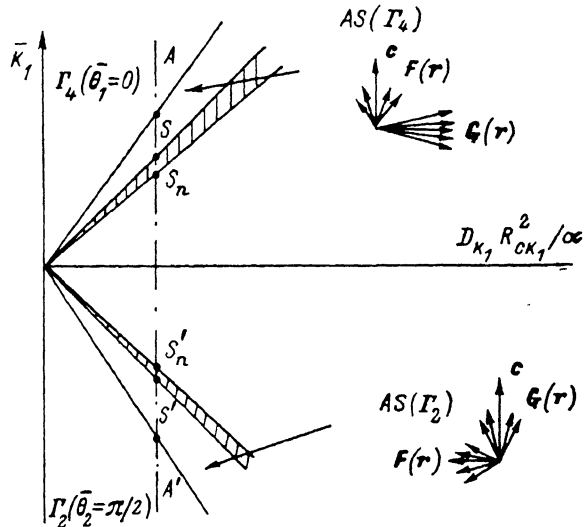


Рис. 1. Фазовая диаграмма для спин-ориентационных переходов в *ac*-плоскости соединений с конкурирующей анизотропией на основе  $RFeO_3$ .

На вставках — ориентация  $F(r)$ ,  $G(r)$  в асперомагнитных структурах. Заштрихованы области гетерофазных состояний.

ближении, пренебрегая локальными структурными искажениями решетки при замещении одного редкоземельного иона на другой, можно предположить, что флуктуации  $\delta K_2(r)$  в системах  $R_{1-x}^{1-x}R_x^{2-x}FeO_3$  отсутствуют. Можно показать, что более точные расчеты, проведенные с учетом  $\delta K_2(r)$ , не изменят качественно приведенных ниже результатов. С учетом сделанных замечаний представим энергию анизотропии четвертого порядка в виде

$$H_{an}^{(4)} = K_2 \sin^4 \theta(r), \quad (1)$$

где  $\theta(r)$  угол между вектором ферромагнетизма  $F(r)$  и осью  $c$ . Используя стандартные методы [1], нетрудно оценить отношение ширины области существования асперомагнитных структур  $AS(\Gamma_4)$ ,  $AS(\Gamma_2)$  и многодоменных состояний на фазовой диаграмме  $AS_n + A'S'_n$  (рис. 1) к общей ширине спин-ориентационного перехода при заданной величине параметра  $D_{K1}R_{CK1}^2/\alpha$

$$\gamma = (AS_n + A'S'_n)/AA' \sim D_{K1}^2 R_{CK1}^6 (\alpha^2 K_2)^{-1}, \quad (2)$$

где  $D_{K1}$ ,  $R_{CK1}$  определены выше,  $\alpha$  — параметр неоднородного обмена [6]. Поскольку в области спин-переориентации средняя константа анизотропии  $\bar{K}_1$  линейно зависит от температуры [3], то параметр  $\gamma$  (2) определяет также относительную величину температурного интервала, в котором должны наблюдаться стохастические магнитные структуры, перечисленные выше.

Нетрудно также, пользуясь методами [1], оценить и величину дисперсии ориентационных флуктуаций магнитных моментов в угловой фазе

$$D_F = (D_{K_1} R_{CK_1}^3 / \alpha^{3/2} \sqrt{2K_2}) \{ [2K_d - \bar{K}_1] [K_1 + 2K_2 + 2K_d] \} (K_2 + 2K_d). \quad (3)$$

Здесь  $K_d = D_{K_1} R_{CK_1}^2 / \alpha$ . Максимальное значение дисперсии  $[D_F]_{\max}$  достигается при  $\bar{K}_1 = -K_2$ , когда  $\theta = 45^\circ$ . Из (2), (3) видно, что выполняется соотношение

$$\gamma \sim [D_F]_{\max}^2. \quad (4)$$

Конкурирующая магнитная анизотропия должна, в частности, наблюдаться в составах  $\text{Sm}_{1-x}\text{Eu}_x\text{FeO}_3$ , где ионы  $\text{Sm}^{3+}$  дают аномально боль-

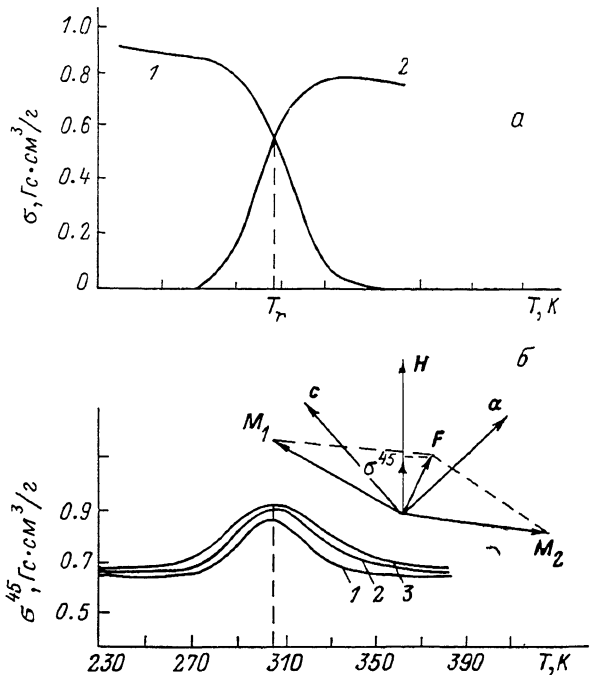


Рис. 2. Температурная зависимость величины слабого магнитного момента в  $\text{Sm}_{0.6}\text{Eu}_{0.4}\text{FeO}_3$ .

*a* — компоненты  $\sigma_a(T)$  (1),  $\sigma_c(T)$  (2) вдоль осей *a*, *c*; *b* — температурная зависимость проекции магнитного момента на диагональ плоскости *ac* ( $\sigma_{45}$ ) в полях  $H=80$  (1), 400 (2) и 1000 Г (3).

шой вклад в константу  $K_1$ , который уже при достаточно высоких температурах  $T \sim 400$  К приводит к изменению ее знака [3], тогда как ионы  $\text{Eu}^{3+}$  практически не дают вклада в  $K_1$  [7]. Таким образом, уже при достаточно высоких температурах в участках кристаллов  $\text{Sm}_{1-x}\text{Eu}_x\text{FeO}_3$  с достаточно большим содержанием  $\text{Sm}^{3+}$  будет выполняться условие  $K_1(r) < 0$ , а в областях, обедненных  $\text{Sm}^{3+}$ , константа анизотропии будет положительной за счет превалирующего в них положительного [3, 5] вклада 3d-подрешетки.

На рис. 2 приведены результаты измерений величины проекций магнитного момента состава  $\text{Sm}_{0.6}\text{Eu}_{0.4}\text{FeO}_3$  на оси *a* и *c* в области спин-переориентации, протекающей для данного соединения в области комнатных температур, что и обусловило его выбор для исследования. Используя данные рис. 2, нетрудно оценить дисперсию ориентационных флуктуаций  $D_F$  по отклонению экспериментально измеренного магнитного момента

$$\sigma(T) = F(T) M_0(T) = [\sigma_a^2(T) + \sigma_c^2(T)]^{1/2} \approx \sigma_0(T) [1 - D_F/2], \quad (5)$$

где  $M_0(T)$  — величина магнитного момента отдельной подрешетки  $\text{Fe}^{3+}$  [8], от теоретической зависимости  $\sigma_0(T)$  для упорядоченных  $\text{RFeO}_3$

$$\sigma_0(T) = \sigma_a \left\{ 1 - \frac{\sigma_c - \sigma_a}{\sigma_c} \sin^2 \theta(T) \right\}. \quad (6)$$

При выводе [6] учтены изменения величины  $\sigma_0(T)$  в процессе спин-переориентации, наблюдающиеся и в упорядоченных  $\text{RFeO}_3$ . Величины слабых магнитных моментов вдоль  $a$ -с-осей  $\sigma_a$ ,  $\sigma_c$  определяются отношениями соответствующих компонент векторов Дзялошинского к параметрам обмена ионов  $\text{Fe}^{3+}$  и в сравнительно узком температурном интервале спин-переориентации практически не зависят от температуры [3]. Оказалось, что  $[D_F]_{\max} \sim 1.3 \cdot 10^{-1}$  и достигается действительно в центре области спин-переориентации; тогда величина  $\gamma$  (4) составляет всего  $\sim 10^{-2}$ . При общей протяженности области спин-переориентации  $\Delta T_{AA'} \sim 35$  К общая ширина областей существования асперомагнитных фаз и магнитогетеро-

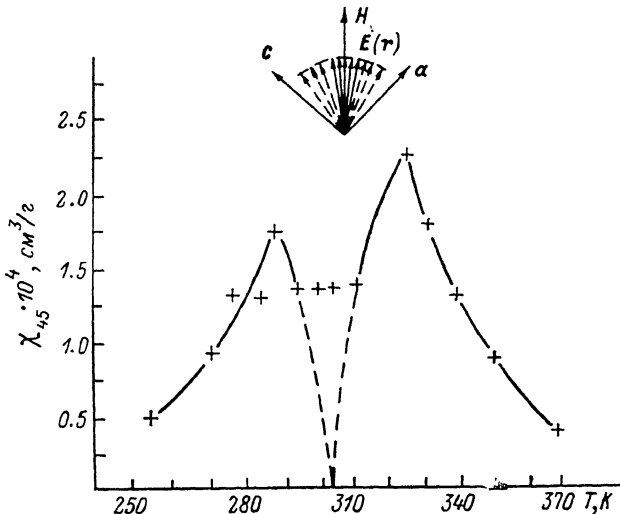


Рис. 3. Температурная зависимость  $\chi_{45}(T)$ , рассчитанная на основании данных рис. 2. Штрихи — схематический вид  $\chi_{45}(T)$  в упорядоченных  $\text{RFeO}_3$  в области спиновой переориентации.

генных состояний ( $AS_n + A'S'_n$ ; рис. 1) составляет всего  $\sim 3.5 \cdot 10^{-1}$  К, что сильно затрудняет их экспериментальное обнаружение чисто магнитными методами. В то же время такая возможность сохраняется для магнитооптических исследований, позволяющих визуально обнаружить возникновение магнитных неоднородностей в системе.

Для явного обнаружения дисперсии ориентационных флуктуаций в угловой фазе, существование которых в соответствии с теоретическими выводами [1, 2] является характерным свойством систем с конкурирующей анизотропией, были проведены измерения намагниченности  $\sigma_{45}(T)$  вдоль диагонали  $ac$ -плоскости в различных полях (рис. 2, б) и с их помощью рассчитана величина магнитной восприимчивости в этом направлении (рис. 3). В упорядоченных соединениях  $\text{RFeO}_3$  в центре области спин-переориентации  $\chi_{45}$  принимает значения  $\chi_{45} \approx \chi_{\perp} \approx 10^{-6} \text{ см}^3/\text{г}$ , соответствующие обычной перпендикулярной восприимчивости [3]. В рассматриваемой системе  $\text{Sm}_{0.6}\text{Eu}_{0.4}\text{FeO}_3$  при  $T=305$  К  $\theta=45^\circ$  ( $\langle F \rangle$  лежит вдоль диагонали плоскости  $ac$ ), а  $\chi_{45}(T=305 \text{ K}) \approx 1.4 \cdot 10^{-4} \text{ см}^3/\text{г}$ , что значительно превосходит типичные величины  $\chi_{\perp}$ . Маловероятно, что аномально большая величина  $\chi_{45}(T)$  в центре области спин-переориентации вызвана случайным возрастанием при этих температурах восприимчивости редкоземельной подрешетки, поэтому ее можно связать со стягиванием веера ориентационных флуктуаций  $D_F$  во внешнем поле  $H \parallel \langle F(\theta=45^\circ) \rangle$  (рис. 3). Действительно, восприимчивость, связанная с этим процессом, имеет вид

$$\chi_{45} = \frac{d |\langle F(\theta=45^\circ) \rangle|}{dH} \Big|_{H \parallel \langle F(\theta=45^\circ) \rangle} M_0. \quad (7)$$

Используя (5), (6) и определение  $D_F$  (3), получаем, что в центре области спин-переориентации при  $K_1(T_r) = -K_2$  угол  $\theta = 45^\circ$  и

$$\chi_{45}(T_r) \simeq [D_F]_{\max} \frac{c_0^2(T_r)}{8K_2}. \quad (8)$$

Используя приведенные выше оценки  $[D_F]_{\max}$  и экспериментальные данные  $c_0$  (рис. 2, а), при характерных для соединений RFeO<sub>3</sub> значениях  $K_2$  [3] находим  $\chi_{45}(T_r) \approx 10^{-4}$  см<sup>3</sup>/г, что хорошо согласуется с данными рис. 3.

Следует отметить, что возникновение ориентационных флуктуаций векторов F (r), G (r) в угловой фазе должно сопровождаться особенностями всех физических характеристик материала; в частности, нами наблюдалось необычное нелинейное изменение величины двупреломления с температурой в составе Sm<sub>0.6</sub>Eu<sub>0.4</sub>FeO<sub>3</sub> в области спин-переориентации, тогда как в [8] были обнаружены аномалии температурной зависимости скоростей звуковых волн в центре спин-ориентационного перехода. Анализ подобных эффектов, обусловленных спецификой взаимодействия элементарных возбуждений в различных подсистемах соединений с конкурирующей анизотропией с неоднородностями их магнитной структуры, является самостоятельной задачей и будет проведен в дальнейшем.

#### Список литературы

- [1] Синицын Е. В., Иванов С. И. // ФММ. 1986. Т. 62. № 4. С. 689—699.
- [2] Милов В. Н., Артемьев Г. А., Неделько В. И., Пруд А. Ф., Семенова М. В., Синицын Е. В. // ЖЭТФ. 1985. Т. 88. № 1. С. 272—279.
- [3] Белов К. П., Звездин А. К., Кадомцева А. М., Левитин Р. З. Ориентационные переходы в редкоземельных магнетиках. М.: Наука, 1979. С. 317.
- [4] Коренблит Й. Я., Шендер Е. Ф. // Изв. вузов, физика. 1984. Т. 27. № 10. С. 23—45.
- [5] Москвин А. С. // Автореф. докт. дис. М., МГУ, 1984. С. 44.
- [6] Вонсовский С. В., Магнетизм. М.: Наука, 1971. С. 1032.
- [7] Звездин А. К., Матвеев В. М., Мухин А. А., Попов А. И., Редкоземельные ионы в магнитоупорядоченных кристаллах. М.: Наука, 1985. С. 244.
- [8] Гесь А. П., Барило С. М., Лучинец А. М., Бояршинов Ю. В., Балаев А. Д. // Физические свойства и структура неметаллических ферромагнетиков. Минск, 1987. С. 53—65.

Свердловский горный институт  
им. В. В. Вахрушева  
Институт радиофизики и электроники  
АН АрмССР  
Ереван

Поступило в Редакцию  
4 ноября 1989 г.